# 水源水中典型化学品突发污染的应急处理

陈蓓蓓! 高乃云!\* 鲁文敏! 尚亚波² 秦祖群²

(1. 同济大学污染控制与资源化研究国家重点实验室,上海 200092;2.镇江市自来水公司,镇江 212001)

摘要:针对被典型化学品双酚 A(BPA)与邻苯二甲酸二乙酯(DEP)污染原水的应急处理工艺进行了研究。结果表明,活性炭吸附可有效去除双酚 A 和 DEP,拟二级动力学模型和 Elovich 模型较好地描述粉末活性炭对原水中 BPA 和 DEP 的吸附过程。中试条件下 50~mg/L的粉末活性炭可分别将原水中浓度约为  $500~\mu g/L$ 的双酚 A 和 3.3~mg/L的 DEP 处理达标。炭砂滤柱对 2 种化学品的动态吸附表明,BPA 和 DEP 的去除率受它们初始浓度的影响较小,在滤速为  $5.1 \sim 15.3~m/h$ 的范围内 BPA 和 DEP 的去除率基本不受滤速的影响,当同时采用粉末活性炭和炭砂滤柱工艺时,PAC 的吸附过程是去除污染的主要阶段,炭砂滤柱可以作为粉末活性炭的有效补充保证一定的安全系数。 $Embeddetallower{MMnO_4}$  和  $Embeddetallower{Mno_4}$  和 Embeddetallo

关键词:水源水 突发污染;双酚 A 邻苯二甲酸二乙酯 活性炭 预氧化

中图分类号:X52 文献标识码:A 文章编号:10250-3301(2009)06- -

# Study on Emergent Treatment of Source Water Contaminated by Representative Chemicals

CHEN Bei-bei<sup>1</sup>, GAO Nai-yun<sup>1</sup>, LU Wen-min<sup>1</sup>, SHANG Ya-bo<sup>2</sup>, QIN Zu-qun<sup>2</sup>

(1. State Key Laboratory of Pollution Control and Resource Reuse, Tongji University, Shanghai 200092, China; 2. Zhenjiang Water Company, Zhenjiang 212001, China)

Abstract Emergent treatment of source water polluted by representative chemical bisphenol-A and Di-ethyl phthalate was researched. The results indicate that activated carbon adsorption could achieve high efficiencies to remove the two chemicals. The pseudo second-order adsorption kinetic model and Elovich kinetic model can be used to describe the powdered activated carbon (PAC) adsorption process of BPA and DEP in raw water. In pilot test , 50 mg/L PAC dosage can get the pollution concentration of 500  $\mu$ g/L BPA or 3.3 mg/L DEP comply with the requirement of water quality standard. The dynamic adsorption of carbon-sand filter was also studied , and removal efficiencies of BPA and DEP were hardly influenced by their original concentrations and the filtering velocity among 5.1-15.3 m/h of carbon-sand filter. When PAC adsorption was combined with carbon-sand filter , PAC adsorption contributes most to removing pollution , and carbon-sand filter as the supplement of PAC can strengthen safety. DEP can 't be oxidized by KMnO<sub>4</sub> or Cl<sub>2</sub> , but 850  $\mu$ g/L BPA can be almost completely oxidized by 3 mg/L KMnO<sub>4</sub> and 1.5 mg/L Cl<sub>2</sub>. The oxidation products of BPA as well as their toxicity need further study. PAC adsorption combined with 1.5 mg/L KMnO<sub>4</sub> preoxidation can 't improve the removal efficiency of DEP , but can improve BPA removal efficiency.

Key words source water; emergent pollution; bisphenol-A; Di-ethyl phthalate; activated carbon; preoxidation

邻苯二甲酸二乙酯(DEP)为邻苯二甲酸酯类的一种 美国环保局重点控制的污染物名单中包含 6 种邻苯二甲酸酯类化合物 其中一种就是 DEP. DEP 具有广泛的工业应用 ,它是作为溶剂用来制造工业产品的.双酚 A(BPA)是一种常用的化工原料 ,全球范围的年产量约为 280 万 t ,在地表水中检出频率也较高<sup>123</sup>.BPA 属低毒性化学物 ,具有雌激素活性 ,在人体内能起到干扰体内正常激素分泌的作用 ,从而影响生殖功能 ,异致恶性肿瘤的产生 ,经研究发现 ,双酚 A影响高等动物多方面的生理代谢 .即使是低剂量(相当于环境中的剂量 ,梁毒 ,也会造成严重的损伤.

近年来,由化学品引起的突发污染事件时有发生,严重影响了社会生产和生活.而水厂的常规处理

工艺去除效果极其有限, 芮旻等<sup>31</sup>研究表明,进水浓度为 200~300 µg/L条件下经过混凝、沉淀和砂滤后, BPA 的去除率分别仅为 25.38%. 田怀军等<sup>41</sup>对以长江和嘉陵江为水源的 5 家自来水出厂水的检测表明:出厂水中与对应的自来水厂的原水相比较,出厂水和原水中检测到邻苯二甲酸酯类物质的种类一样,而且浓度比原水浓度更高. 饮用水卫生标准 GB 5749-2006 规定水中双酚 A 和邻苯二甲酸二乙酯的

收稿日期 2008-07-17 ,修订日期 2008-09-16

基金项目 :江苏省科技厅社会发展计划项目( BS006039 ) "十一五 "国家科技支撑计划项目( 2006BAJ08B06, 2007BAC26B03, 2006BAJ08B02 )

\* 通讯联系人 ,E-mail :gaonaiyun@mail.tongji.edu.cn

限值分别为 0.01 mg/L和 0.3 mg/L 因此本研究设定 双酚 A 和 DEP 的污染浓度分别为  $0.5 \sim 1 \text{ mg/L}$ 和 3 mg/L左右.

#### 1 材料与方法

#### 1.1 实验装置与仪器

TA6-2 程控混凝实验搅拌仪(武汉恒岭科技有限公司).高效液相色谱仪(岛津 LC-2010 AHT),采用 shim-pack VP-ODS 色谱柱(250 mm×4.6 mm i.d.)

测定双酚 A 和 DEP. 粉末活性炭为分析纯 上海国药集团生产),山西新华活性炭厂生产的颗粒活性炭 ZJ15. 双酚 A 为化学纯(国药集团化学试剂有限公司),邻苯二甲酸二乙酯为分析纯(上海凌峰化学试剂有限公司). 液相色谱流动相——乙腈、甲醇为HPLC 级(Sigma 公司),超纯水(Milli-O).

## 1.2 双酚 A 和 DEP 的性质和原水水质

双酚 A 与 DEP 的主要物化性质见表 1. 实验采用长江镇江段原水为本底水 其水质见表 2.

表 1 BPA 与 DEP 的主要物化性质 5 6]

Table 1 Main physicochemical characteristics of BPA and DEP

名称	结构式	分子式	相对分子质量	水中溶解度/mg·L-1	$\lg K_{ow}$
双酚 A	но он	$C_{15}H_{16}O_2$	228.3	120 ~ 300	3.4
邻苯二甲酸二乙酯		$C_{12}H_{14}O_4$	222.2	591	2.47

表 2 实验水物化性质

Table 2 Physicochemical characteristics of experimental water

水温/℃	浑浊度/NTU	рН	高锰酸盐指数/mg·L-1	$UV_{254}/cm^{-1}$
21 ~ 27.5	38 ~ 102	7.17 ~ 7.76	1.76 ~ 2.98	0.041 ~ 0.118

#### 1.3 实验方法

双酚 A 测定的色谱条件为:流动相为乙腈:水 = 80:20 流动相流速 0.8 mL/min :检测波长 224 nm; 进样量 10  $\mu$ L;分析时间 6 min( BPA 出峰时间 4.56 min). 邻苯二甲酸二乙酯测定的色谱条件为:流动相为甲醇:水 = 65:35 流动相流速 0.8 mL/min :检测波长 240 nm :柱温 35 % 进样量 10  $\mu$ L;分析时间 14 min (邻苯二甲酸二乙酯出峰时间 11.49 min).

小试试验采用烧杯试验的方法,将一系列

1000 mL配制有一定浓度污染物的水样,置于混凝试验搅拌仪上,投加一定浓度的氧化剂或粉末活性炭,以300 r/min快速搅拌20 min 后,投加适量混凝剂聚合硫酸铁,快速混合1.5 min,搅拌强度为300 r/min.一级混凝转速80 r/min,时间为6 min;二级混凝转速为40 r/min,时间为9 min;最后静沉30 min.取沉淀后上清液测定目标物质的浓度

中试设备由进水水箱、机械搅拌絮凝池、斜板沉淀池、滤柱等组成,见图 1.设计产水量为 1 m³/h.投

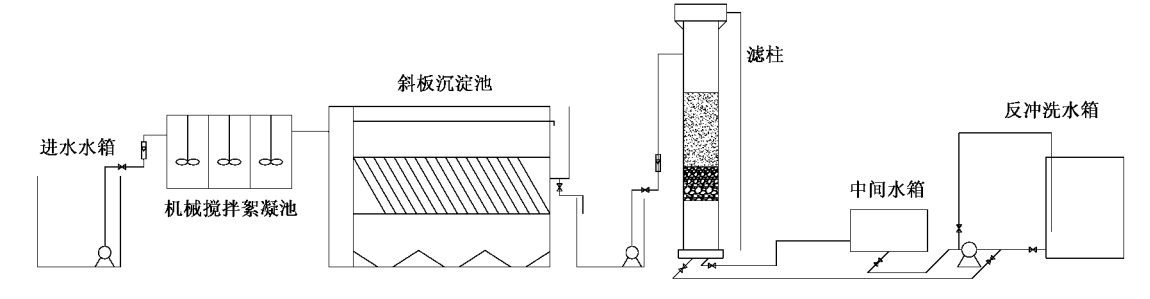


图 1 中试试验工艺流程示意

Fig. 1 Flow diagram of process in the pilot test

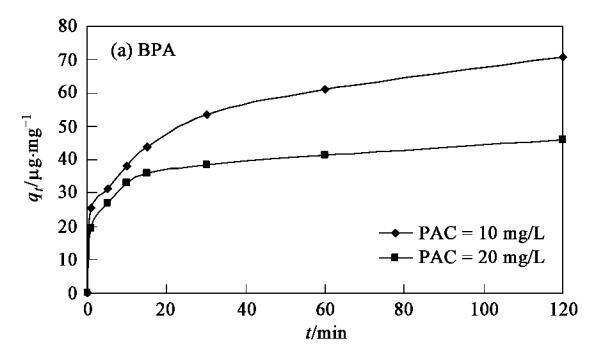
加 PAC 时,活性炭配制成炭浆后由计量泵打至进水水箱.进水水箱设有搅拌器,转速约为 200 r/min,以保证活性炭等物质和原水充分混合而不沉降.1.2 m×0.4 m×0.7 m 的机械搅拌絮凝装置分为三级,一级絮凝桨板转速为 200 r/min,二级絮凝桨板转速为60 r/min,三级絮凝桨板转速为30 r/min,斜板沉淀池尺寸为2.5 m×1 m×1.4 m,斜板长度为0.5 m.沉淀水进入高为2.5 m、直径为30 cm 的滤柱过滤,滤料采用15目的颗粒活性炭和粒径为0.5~1.2 mm 的石英砂,厚度均为40 cm,滤速保持在8.5 m/h左右.每做完一个工况,滤柱都进行反冲洗.

#### 2 结果与分析

#### 2.1 粉末活性炭(PAC)

#### 2.1.1 粉末活性炭对 BPA 与 DEP 的吸附速率

一般说来,粉末活性炭的吸附过程大致分成3



个阶段 10~30 min 是快速吸附期 ,污染物浓度下降很快 ,在此期间活性炭对污染物的吸附能力可以发挥 70%左右 ;30~120 min 是减速吸附期 ,此间吸附速率逐渐变慢 ,至 120 min 时活性炭对污染物的吸附能力可以发挥 90%以上 ;120 min 以后是平衡吸附期 ,污染物浓度随时间的延长变化不大 . 因中试条件下原水与 PAC 接触时间有限(约为 20 min),所以本试验选取吸附阶段的前 120 min 进行研究 .

如图 2 所示 ,PAC 对 BPA 和 DEP 的吸附量均随 投炭量的增加而降低 ,由于 BPA 的初始浓度为 970 µg/L ,DEP 的初始浓度为 4.7 mg/L ,而活性炭的投加 量相对较低 ,所以不易达到平衡状态. 当 PAC 投量 分别为 10 mg/L和 20 mg/L时 ,在原水中吸附 2 h 后还 没有完全达到平衡 ,快速吸附阶段仍是前 30 min .原 水中这 2 种物质在与 PAC 充分混合 20 min 后均可 达到 70%~80%的吸附容量.

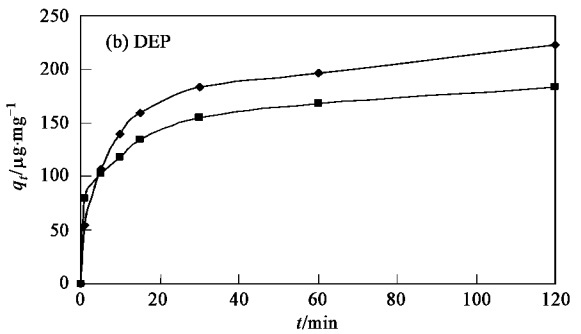


图 2 不同 PAC 投量下 BPA 和 DEP 的吸附曲线

Fig. 2 Adsorption curves of BPA and DEP at different PAC dosage

动力学研究的目的是为了便于分析,找到以速率常数的形式来描述吸附过程的简单的数学模型.常见的模型有拟一级动力学模型和拟二级动力学模型,另有一种 Elovich 模型,它是把吸附过程描述为如大规模解体的扩散、表面扩散以及启动催化表面等一系列反应机制的<sup>71</sup>,广泛应用于液相吸附过程.

拟一级动力学模型:

$$\ln(q_e - q_t) = \ln q_e - k_1 t$$
 (1)

拟二级动力学模型

$$\frac{t}{q_{\rm t}} = \frac{1}{k_2 q_{\rm e}^2} + \frac{t}{q_{\rm e}} \tag{2}$$

Elovich 模型

$$q_{t} = \frac{1}{b} \ln(ab) + \frac{1}{b} \ln t \tag{3}$$

式中  $q_e$  为平衡时的固相浓度  $\mu g/mg$   $q_t$  为 t 时刻的固相浓度  $\mu g/mg$   $k_t$  为拟一级动力学模型的速率常

数  $, \min^{-1}$  ;  $k_2$  为拟二级动力学模型的速率常数 ,  $mg(\mu_g \cdot min)$  ; t 为吸附时间  $,\min$  ;  $a \cdot b$  为 Elovich 模型常数 .

由图 3、4 和表 3 可知 ,对于 BPA 与 DEP 来说 ,拟二级反应动力学模型和 Elovich 模型均能较好地拟合粉末活性炭对 BPA 和 DEP 的吸附过程 ,从相关性  $r^2$  来看 ,拟合程度从大到小依次是拟二级动力学模型 > Elovich 模型 > 拟一级动力学模型 . 拟二级动力学模型可很好地描述 BPA 与 DEP 的整个吸附过程 ,说明活性炭对它们的吸附是以化学吸附为主  $^{[8]}$  . BPA 与 DEP 的吸附动力学速率常数  $k_1$ 、 $k_2$  均随活性炭投量的增加而增大 ,这表明活性炭投量越大 ,BPA 与 DEP 被吸附的速度越快 .  $q_e$  均随活性炭投量的增加而减小 ,这是因为活性炭投量增加而使 BPA 和 DEP 的平衡浓度减小 ,所以对应的  $q_e$  也减小 .

#### 2.1.2 粉末活性炭的投加量

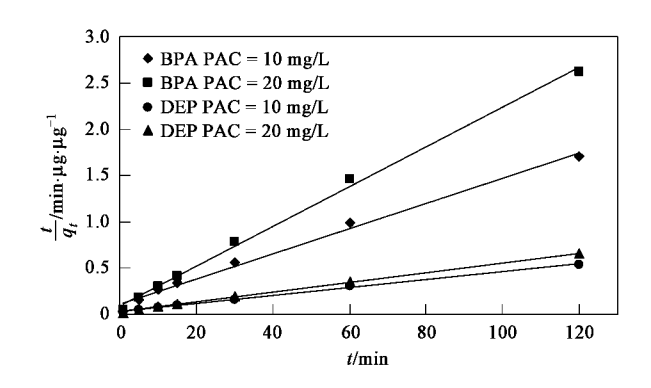


图 3 不同 PAC 投量下 BPA 和 DEP 吸附速率拟 二级动力学拟合曲线

Fig. 3 The pseudo second-order adsorption kinetics curves of BPA and DEP at different PAC dosage

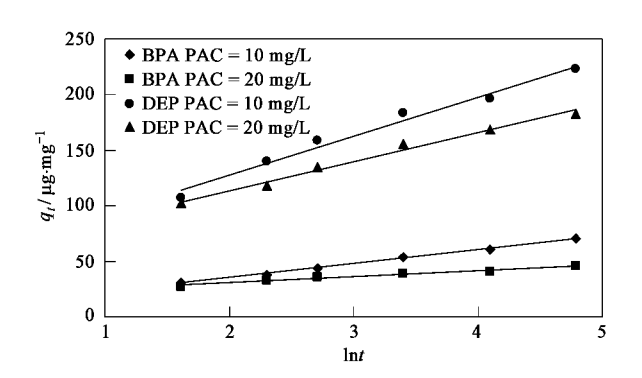
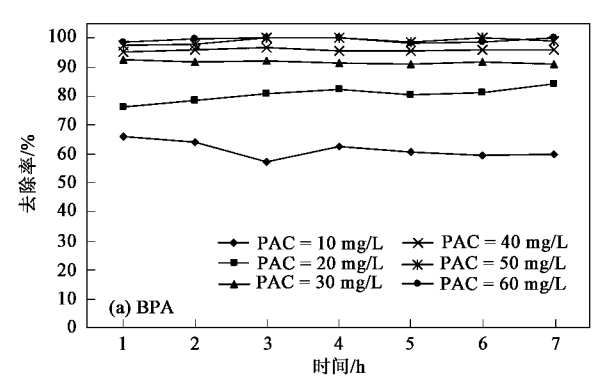


图 4 不同 PAC 投量下 BPA 和 DEP 吸附速率 Elovich 模型拟合曲线

Fig. 4 The Elovich model curves of BPA and DEP at different PAC dosage



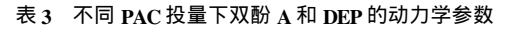


Table 3 Kinetic parameters for BPA and DEP at different PAC dosage

参数	双西	双酚 A		邻苯二甲酸二乙酯		
PAC 浓度/mg·L <sup>-1</sup>	10	20	10	20		
$q_{ m e}/\mu{ m g}\cdot{ m mg}^{-1}$	61.7103	39.2125	199.6829	160.404 1		
$k_1 \times 10^2 / \mathrm{min}^{-1}$	10.68	31.02	13.20	20.18		
$r^2$	0.6490	0.6411	0.9025	0.5319		
$q_{ m e}/\mu{ m g}\cdot{ m mg}^{-1}$	73.5294	46.5116	232.558 1	188.6792		
$k_2 \times 10^3/\text{mg} \cdot (\mu \text{g} \cdot \text{min})$	) <sup>-1</sup> 1.681	5.052	0.672	1.089		
$r^2$	0.9926	0.9970	0.9968	0.9978		
$a/\text{mg} \cdot (\mu g \cdot \min)^{-1}$	28.0009	196.7394	179.341	275.971		
$b/\mu \mathrm{g} \cdot \mathrm{mg}^{-1}$	0.0796	0.1824	0.028 5	0.0384		
$r^2$	0.9977	0.9699	0.9804	0.9873		

当 BPA 初始浓度约为 500  $\mu$ g/L时 ,各 PAC 投量对它的去除率如图 5(a)所示. PAC 为 10 mg/L时 ,沉淀水的去除率就为 61.4% ,可见活性炭对 BPA 的去除效果较好. 随着 PAC 浓度的增加 ,去除率缓慢增加 ,至 PAC 投量为 50 mg/L时 ,沉淀水出水 BPA 浓度才降至 10  $\mu$ g/L以下 ,达到水质标准. 60 mg/L的投加量下 ,BPA 的去除率为 99.3% ,仅比 50 mg/L时增加了 0.3% .

当 DEP 的初始浓度约为 3.3 mg/L时 ,各 PAC 投量对它的去除率如图 5(b)所示.由于 DEP 的初始浓度比 BPA 高 ,所以相同 PAC 投量下对它的去除率则比 BPA 低.若将沉淀水中 DEP 去除至 0.3 mg/L以下 ,则 PAC 的投加量必须达到 50 mg/L ,此时 PAC 对DEP 的去除率约为 96.4%.

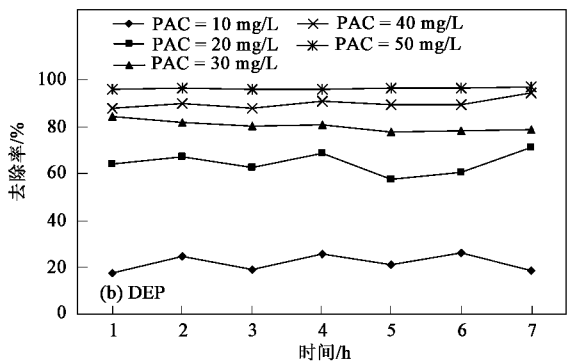


图 5 PAC 各投量下沉淀水 BPA 和 DEP 的去除效果

Fig. 5 Removal effect of BPA and DEP in the water from sedimentation at different PAC dosage

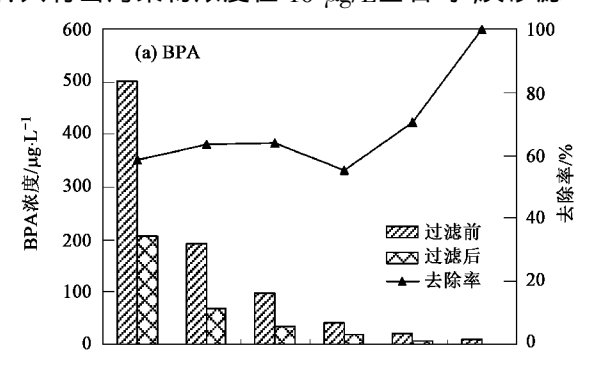
# 2.2 炭砂滤柱动态吸附

# 2.2.1 进水浓度的影响

中试的炭砂滤柱由  $40~{\rm cm}$  的石英砂层和  $40~{\rm cm}$  的颗粒炭层组成 "滤速为  $8.5~{\rm m/h}$ . 如图  $6~{\rm fh}$  示 "BPA 进水浓度为  $21.2\sim501.8~{\rm \mu g/L}$ 时 滤后水去除率平均

为 62.4% ,BPA 浓度为  $10.6~\mu g/L$ 时 ,出水浓度为 0.0 DEP 的进水浓度在  $0.33 \sim 3.38~m g/L$ 时 ,滤柱对其去除效率在  $69.8\% \sim 73.4\%$  的范围内 ,只有 DEP 进水浓度为 0.12~m g/L时 ,去除率才跃升至 82.8% .这种现象说明 ,当滤速恒定时 ,一定范围内污染物浓度对

出水去除率没有影响 ,并且由于 BPA 和 DEP 的分子量相近 ,结构相似 ,它们去除率都是在  $60\% \sim 70\%$  左右 . 只有当污染物浓度在  $10~\mu g/L$ 左右时 ,炭砂滤



柱基本可以全部去除,这是因为它们的浓度已经降低到可被直接去除的范围内了.那么炭砂滤柱去除 BPA和 DEP的影响因素就只有滤层结构和滤速了.

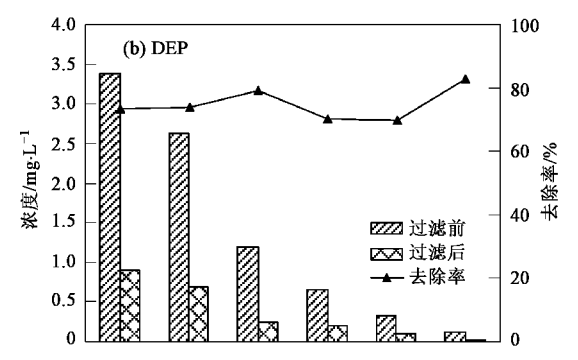
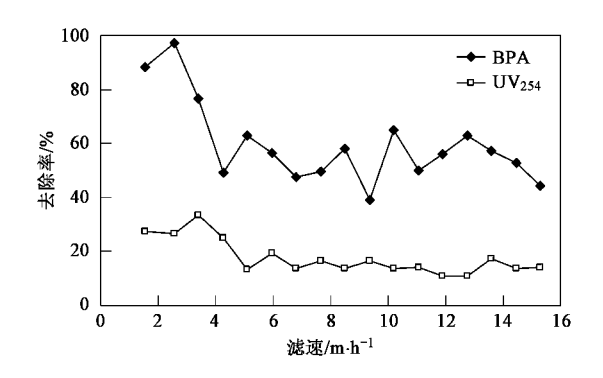


图 6 炭砂滤柱对各进水 BPA 和 DEP 的去除效果

Fig. 6 Removal efficiencies of BPA and DEP by carbon-sand filter at different influent concentration

### 2.2.2 滤速的影响

从图 7 炭砂滤柱对这 2 种物质的去除效果看,当滤速在  $1.5 \sim 5.1$  m/h的范围时 ,污染物的去除率随滤速的增大而有略微的下降 ,当滤速在  $5.1 \sim 15.3$  m/h时 ,污染物的去除率均比较稳定 ,可以认为在常规水处理滤速  $7 \sim 10$  m/h的范围内 ,滤速对炭砂滤柱去除污染的影响可以忽略 . 因此在使用炭砂过滤的



情况下 水厂不必通过降低滤速减少产量来去除污染.滤前 BPA 的浓度为 244  $\mu$ g/L 滤后平均去除率为 59.6% 滤前 DEP 的浓度为 3.3 mg/L 炭砂滤柱的平均去除率为 76.2% ,从  $UV_{254}$ 的去除效果来看 ,DEP 所对应的水中  $UV_{254}$ 的去除率也比 BPA 对应的高 原因可能是 BPA 中试时使用的旧炭不及 DEP 中试时更换的新炭去除效率高.

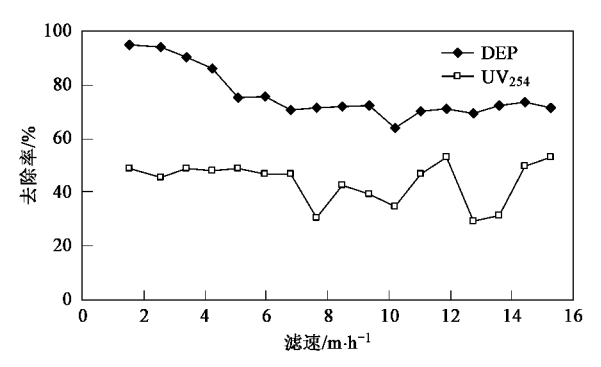


图 7 BPA、DEP 和 UV<sub>254</sub>随炭砂滤柱滤速变化的去除效果

Fig. 7 BPA , DEP and  $UV_{254}$  removal efficiencies varying with filtering velocity of carbon-sand filter

#### 2.3 粉末活性炭与炭砂滤柱联用

如图 8 所示 ,当原水 BPA 浓度为 500  $\mu$ g/L时 ,污染原水与 40 mg/L的 PAC 充分混合 20 min 后就达到 94.7%的去除效果 ,混凝沉淀过程中 BPA 的去除率为 1.1% ,通过炭砂滤柱后 滤后水的 BPA 浓度降至 7.5  $\mu$ g/L ,达到水质标准.

当 PAC 投量为 30 mg/L时,各流程去除 DEP 的效果如图 9. DEP 初始浓度约为 3.3 mg/L 经与 PAC 在进水水箱混合 20 min 后,平均去除率达到

58.4% 沉淀后 DEP 的去除率增加至 80.4% ,经过 炭砂滤柱处理后 ,DEP 的浓度基本达标 ,平均为  $0.196~\mathrm{mg/L}$  ,这说明 PAC 与炭砂滤柱的联合使用可以有效将  $\mathrm{mg}$  级的 DEP 污染处理达标.

虽然 PAC 的去除部分在整个处理流程中占主要地位,但 GAC 层的去除部分也是不可忽略的,它起到抵御污染的最后屏障的作用.因此,GAC 层的存在不仅可以减少 PAC 的投加量节约成本,也可降低由 PAC 投量过大造成的混凝沉淀除浊的负担.

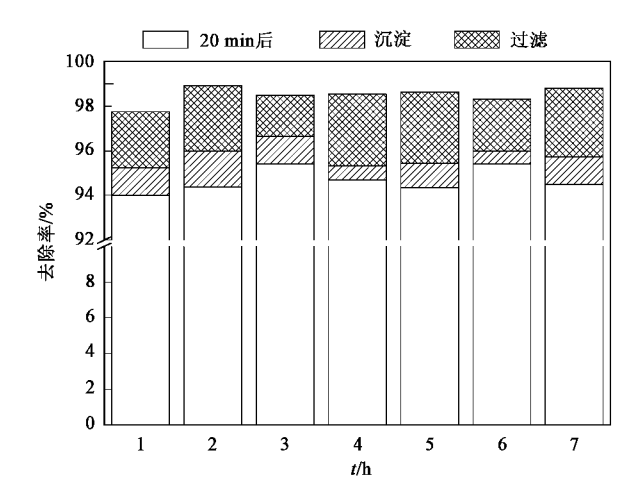


图 8 PAC = 40 mg/L时各流程出水 BPA 的去除效果

Fig. 8 Removal effect of BPA in treatment process when PAC dosage was 40~mg/L

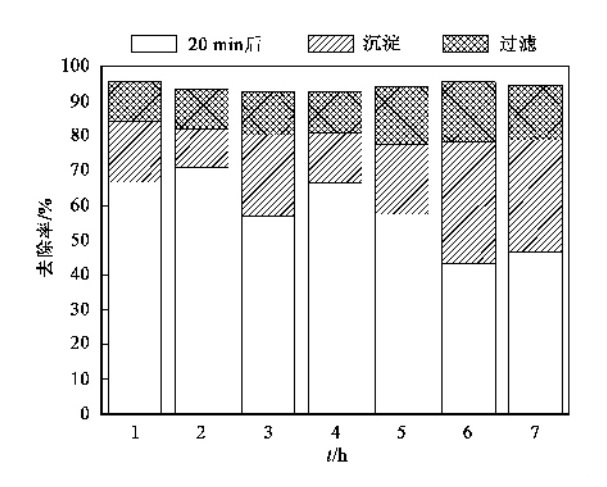


图 9 PAC = 30 mg/L时各流程出水 DEP 的去除效果

Fig. 9 Removal effect of DEP in treatment process when PAC dosage was 30 mg/L

#### 2.4 预氧化

图 10( a )为小试试验中,初始浓度是 850 µg/L的BPA 分别经高锰酸钾预氧化和预氯化后沉淀水的去除效果,高锰酸钾投加量越大,BPA 的去除率就越高,当 KMnO<sub>4</sub> 投加量为 3 mg/L时,BPA 的去除率可达 99.4%.至今未见有关 BPA 被 KMnO<sub>4</sub> 氧化后所生成产物的报道,因高锰酸钾易将苯酚及苯胺类化合物完全氧化降解成水和二氧化碳<sup>91</sup>,而 BPA 的结构可以看成苯酚的复合体,所以 BPA 有可能也是被高锰酸钾完全氧化降解,若生成产物无毒,则 KMnO<sub>4</sub>氧化将是一种去除 BPA 比较理想的方法,这方面的研究有待于进一步开展.

预氯化时,BPA的去除率并不随Cl。投量的增

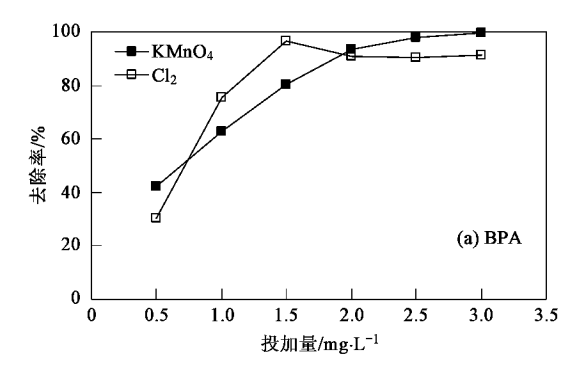
加而增大,当投氯量为1.5 mg/L时,BPA的去除率最 高,为96.4%. Yamamoto 等<sup>[10]</sup>对双酚 A 在水中的氯 化进行了调查 5 种双酚 A 产物在氯化的早期阶段 形成, 它们是 2-氯双酚 A(MCBPA) 2.6-二氯双酚 A (2,6-D,CBPA),2,2'-二氯双酚 A(2,2'-D,CBPA) 2 2' 6-三氯双酚 A(T3 CBPA)和 2 2' 6 6'-四氯双酚 A(T<sub>4</sub>CBPA). 几种氯代酚类化合物通过进一步氯化 形成 分别为 2 A 6-三氯酚 T3CP \ 2 6-二氯-1 A-苯 醌 D<sub>2</sub>CBQ ) 2 6-二氯-1 A-对苯二酚 D<sub>2</sub>CHQ ) C<sub>2</sub>H<sub>10</sub> Cl<sub>2</sub>O<sub>2</sub>、C<sub>9</sub>H<sub>8</sub>Cl<sub>2</sub>O和 C<sub>10</sub>H<sub>12</sub>Cl<sub>2</sub>O<sub>2</sub>. 对双酚 A氯化产物 的毒性鲜有报道,Kōmer等叫9经检测发现 T4BBPA 的雌激素性是  $17\beta$ -雌二醇  $5 \times 10^{-6}$ 倍 约是双酚 A 的 5×10-5倍,这一结果可以推测卤化双酚 A 的雌激素 性质有所削弱,至于氯化双酚 A 的急性毒性, T<sub>4</sub>CBPA的 LD<sub>50</sub>经口对大鼠和小鼠分别为7432和 5 050 mg/kg ,虽然这些值都低于双酚 A (3 250和 2500 mg/kg),但通过环境和生物积累这些物质氯化 程度可能增加 已经发现有其他氯化有机化合物生 成,这些物质对人体的危害是存在的,毒性还是有待 干讲一步研究

图 10(b)为初始浓度是 3.2 mg/L的 DEP 分别经高锰酸钾预氧化和预氯化后沉淀水的去除效果,在高锰酸钾和  $Cl_2$  各投量下 DEP 的最高去除率仅为 9.1%. 显然 ,DEP 不能被高锰酸钾和  $Cl_2$  氧化.

#### 2.5 高锰酸钾与 PAC 联用

中试试验结果表明 ,因  $KMnO_4$  可以和 BPA 反应 投加  $KMnO_4$  后 ,BPA 的去除率有显著增加 ,当 BPA 初始浓度约为 500  $\mu g/L$ 时 , $KMnO_4$  与 PAC 投量分别为 1.5 mg/L和 30 mg/L时 , $KMnO_4$  与 PAC 联用后沉淀水去除率比单独 PAC 增加了 4.5% ,沉淀水浓度在 19.3  $\mu g/L$ 左右 ,当 PAC 投量增至 40 mg/L时 , $KMnO_4$ 与 PAC 联用后 ,沉淀水 BPA 浓度降至 3.6  $\mu g/L$  达到水质标准 . 虽然 BPA 已经达标 ,但产物的浓度并不确定 .

小试研究表明 , $KMnO_4$  与 PAC 联用对去除邻苯二甲酸二乙酯而言 ,似乎不存在协同作用 ,当  $KMnO_4$  投加量为 1.5 mg/L时 ,PAC 投量为  $10 \sim 60$  mg/L下 ,单独 PAC 的去除率均比  $KMnO_4$  与 PAC 同加时略高.可以理解为因  $KMnO_4$  并不能氧化 DEP ,而与原水中其它有还原作用的物质和 PAC 反应  $^{121}$  ,生成的  $MnO_2$  并不能有效吸附污染物 ,同时由于 PAC 的消耗也降低了对污染的去除率.



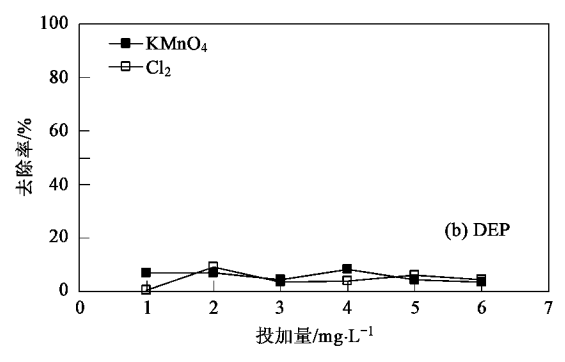


图 10 KMnO<sub>4</sub> 预氧化和预氯化对 BPA 和 DEP 的去除效果

Fig. 10 Removal efficiencies of KMnO<sub>4</sub> preoxidation and prechlorination for BPA and DEP

#### 3 结论

- (1)含 BPA 浓度为 970  $\mu$ g/L或 DEP 的浓度为 4.7  $\mu$ g/L的原水分别被 10  $\mu$ g/L和 20  $\mu$ g/L 的 PAC 吸附 2 h后并不能达到平衡  $\mu$ 以二级动力学模型和 Elovich 模型均可较好地拟合 BPA 和 DEP 的吸附过程.
- (2)中试研究表明 ,当 BPA 初始浓度约为 500  $\mu$ g/L时 ,PAC 投量至少为 50 mg/L方可使沉淀水处理 达标 ;当 DEP 的初始浓度约为 3.3 mg/L时 ,PAC 的最 佳投量也为 50 mg/L.
- (3) 炭砂滤柱动态吸附研究表明 ,对 BPA 浓度为  $21.2 \sim 501.8~\mu g/L$ 或 DEP 的浓度为  $0.33 \sim 3.38~m g/L$ 的沉淀水而言 ,污染物的浓度对滤后水去除率没有影响 ,它们去除率都是在  $60\% \sim 70\%$  左右 . 当滤速在  $5.1 \sim 15.3~m/h$ 的范围时 ,污染物的去除率受滤速的影响可以忽略 . 因此在使用炭砂过滤的情况下 ,水厂不必通过降低滤速或减少产量来去除污染 .
- (4)当 PAC 与炭砂滤柱联合使用时 ,PAC 的投量可比无炭砂滤柱时略有减少 ,但 PAC 的去除部分仍在整个处理流程中占主要地位 ,GAC 层起到抵御污染的最后屏障的作用.
- (5) DEP 不能被高锰酸钾和  $Cl_2$  氧化 ,但 BPA 可被高锰酸钾和  $Cl_2$  氧化 ,当 BPA 的初始浓度是 850  $\mu$ g/L时 ,去除率最高的  $KMnO_4$  和  $Cl_2$  投量分别是 3 mg/L和 1.5 mg/L. BPA 经高锰酸钾与  $Cl_2$  氧化的产物及其毒性有待进一步研究.
- (6)  $KMnO_4$  与 PAC 联用对去除邻苯二甲酸二乙酯没有协同作用 ,但对 BPA 的去除有明显的提高 , 其机制及产物的研究有待开展 .

#### 参考文献:

[ 1 ] Kolpin D W , Furlong E T , Meyer M T , et al . Pharmaceuticals , hormones and other organic wastewater contaminants in U. S.

- streams , 1999-2000 : a national reconnaissance [J]. Environmental Science and Technology , 2002 , 36(6):1202-1211.
- [ 2 ] Stackelberg P E , Furlong E T , Meyer M T , et al. Persistence of pharmaceutical compounds and other organic wastewater contaminants in a conventional drinking-water-treatment plant[ J ]. Science of the Total Environment , 2004 , 329(1-3):99-113.
- [3] 芮旻 高乃云 徐斌 筹. 饮用水处理工艺去除两种典型内分泌干扰物的性能 J]. 给水排水,2006,32(4):1-7.
- [4] 田怀军 涨学奎 舒为群 等. 长江、嘉陵江(重庆段)源水有机 污染物的研究 J]. 长江流域资源与环境,2003,**12**(2):118-123.
- [ 5 ] Tsai W T, Lai C W, Su T Y. Adsorption of bisphenol-A from aqueous solution onto minerals and carbon adsorbent [ J ]. Journal of Hazardous Materials, 2006, 134(1-3):169-175.
- [ 6 ] Mohan S V , Shailaja S , Krishna M R , et al . Adsorptive removal of phthalate ester ( Di-ethyl phthalate ) from aqueous phase by activated carbon : A kinetic study [ J ]. Journal of Hazardous Materials , 2007 , 146 (1-2 ) 278-282.
- [7] Valderrama C, Cortina J L, Farran A, et al. Kinetics of sorption of polyaromatic hydrocarbons onto granular activated carbon and Macronet hyper-cross-linked polymers (MN200) [J]. Journal of Colloid and Interface Science, 2007, 310(1) 35-46.
- [8] Wan WS, Kamari NA, Koay YJ, et al. Equilibrium and kinetics studies of adsorption of copper ( []) on chitosan and chitosan/PVA beads[J]. International Journal of Biological Macromolecules, 2004, 34(3):155-161.
- [9] 田晓燕 陈丽君 刘海臣 等. 饮用水水源高锰酸钾预氧化技术研究进展 J]. 吉林建筑工程学院学报,2006,23(2):15-18.
- [ 10 ] Yamamoto T , Yasuhara A. Chlorination of bisphenol A in aqueous media: formation of chlorinated bisphenol A congeners and degradation to chlorinated phenolic compounds[ J ]. Chemosphere , 2002 , 46(8):1215-1223.
- [11] Körner W, Hanf V, Schuller W, et al. Validation and application of a rapid in vitro assay for assessing the estrogenic potency of halogenated phenolic chemicals [J]. Chemosphere, 1998, 37(9-12): 2395-2407.
- [12] 姜成春 冯军 王志军 筹. 高锰酸钾与粉末炭联用处理微污染源水[J]. 中国给水排水,2001,17(3):12-15.